

AGLOMERACE ČÁSTIC A DEFUIDAČNÍ JEVY VE FLUIDNÍ VRSTVĚ

MILOSLAV HARTMAN, OTAKAR TRNKA,
KAREL SVOBODA a VÁCLAV VESELÝ

*Ústav chemických procesů, Akademie věd České republiky,
Rozvojová 135, 165 02 Praha 6
e-mail: hartman@icpf.cas.cz*

Došlo 20.11.02, přepracováno 6.3.03, přijato 15.4.03.

Klíčová slova: fluidní vrstva, aglomerace částic, defluidace

Obsah

1. Úvod
2. Pohled do historie
3. Příčiny a fyzický obraz defluidace
4. Faktory ovlivňující defluidaci
5. Defluidace při teplotách rovných nebo blízkých teplotě okolí
6. Defluidace při zvýšených nebo vysokých teplotách
 - 6.1. Pyrolyza plastů
 - 6.2. Spalování popelnatého uhlí a biomasy
7. Závěr

1. Úvod

Fluidní vrstva jako procesní jednotka nabízí pro realizaci chemických a fyzikálních transformací látek řadu výhod. Díky velmi dobrému promíchávání částic je teplota v celém objemu vrstvy prakticky stejná. Další předností je, že rychlosť sdílení tepla i hmoty je ve fluidní vrstvě mimořádně vysoká. Prostředí fluidní vrstvy je proto vhodné pro realizaci reakcí citlivých na teplotu nebo operací se silným tepelným zábarvením (např. sušení a spalování). Protože se fluidní vrstva chová podobně jako tekutina, značně usnadňuje manipulaci se zrnitými materiály. Převládající vertikální rozměr, jakož i nepřítomnost pohyblivých částí u fluidních jednotek představují výhody i z pohledu stavebního a strojního.

V chemických procesech se fluidní vrstvy využívají např. při katalytické výrobě vinyl-acetátu, polymerizaci olefin, chloraci kovových oxidů a při spalování nebo zplyňování uhlí, odpadu či biomasy. V procesech fyzikálních se fluidní vrstva používá např. při sušení, potahování, ohřevu nebo chlazení částic a v adsorpčních operacích.

Hydrodynamické chování fluidní vrstvy je složité, ale již základní fyzikální představa suspenze tuhých částic vertikálně protékajících (vznášených) plynem naznačuje případná úskalí tohoto systému. Je evidentní, že pracovní oblast rychlostí fluidačního média (obvykle plynu) nemůže být příliš široká a je závislá – vedle dalších faktorů – především na distribuci velikostí a dalších vlastností částic zrnitého materiálu ve vrstvě i na vlastnostech fluidační tekutiny. Zatímco podíly

jemných částic mohou být při dané rychlosti plynu z vrstvy unášeny, hrubé částice mohou v jejich spodních partiích segregovat. Segregace částic může vést až k defluidaci, tj. ke tvorbě zón nehybných částic. Tento jev – někdy také označovaný jako „zaléhání“ fluidní vrstvy – je velice nežádoucí, neboť znamená ztrátu výše zmíněných výhod fluidní vrstvy a může vést k průmyslovým haváriím.

Způsob fluidace či režim fluidních vrstev se široce mění v závislosti na velikosti a hustotě částic a na rychlosti plynu. Charakteristiky a vymezení různých režimů fluidní vrstvy může čtenář nalézt např. v některých z našich dřívějších prací^{1–3}.

Z různých příčin (např. přilisná vlhkost, vysoká teplota či chemická reakce) mohou být částice lepivé (přilnavé) nebo se lepivými stávají. V důsledku toho se mohou shlukovat či aglomerovat a vytvářet tak shluky (slepence), které jsou obtížně fluidovatelné. Vhodným opatřením (zásahem) lze aglomeraci a následnou segregaci narušit (např. zvýšením lineární rychlosti plynu) a škodlivé defluidaci je možno předejít. Samotná aglomerace nemusí být vždy nežádoucí, neboť ji lze s výhodou využít např. při granulaci jemných prášků. Vysoká hybnost větších částic a potlačený kontakt mezi nimi umožňuje v fluidní vrstvě zpracovávat (např. sušit) i pastovité, tzn. značně lepivé látky.

Jiným nežádoucím jevem je vynášení (únos) jemných lepivých částic z vrstvy. Unesené částice potom mohou vytvářet obtížné inkrustace na stěnách reaktoru, teplosměnných plochách, v cykloanech, příp. i v následných separačních zařízeních. Tyto jevy obvykle také vedou k vážným provozním poruchám.

V předložené práci je podán stručný obraz stavu poznatků o aglomeraci částic a defluidačních jevech ve fluidní vrstvě.

2. Pohled do historie

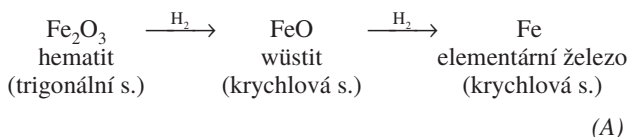
Ve srovnání s průlomovými vynálezy, jakými byly ve fluidaci Winklerův fluidní generátor v roce 1926, nebo katalytické krakování v roce 1942, se poznatky o defluidaci v odbořné literatuře objevují až se značným časovým odstupem.

Mezi prvními, kteří zmínili nežádoucí defluidační jevy, byli v roce 1966 Agarwal a Davis⁴. Zabývali se redukcí zrnité, blíže nespecifikované železné rudy vodíkem při teplotách 590–815 °C. Autoři⁴ zjistili, že vrstva vykazovala tendenci „zaléhat“, když byl reakční produkt zredukován více než z 90 % a pracovní teplota byla vyšší než 620 °C. Po vychladnutí defluidované vrstvy byly částice slepené jen lehce a reaktor bylo možno bez mechanických potíží vyčistit.

K defluidaci docházelo někdy náhle, v jiných případech postupně. Defluidační jevy se projevovaly poklesem tlakového spádu přes vrstvu a zhoršením kontaktu mezi plynem a částicemi. Mezi okolnostmi, které ovlivňovaly tendenci fluidní vrstvy „zaléhat“ (cit.⁴), lze vysledovat tři základní faktory: chemická konverze částic, teplota vrstvy a rychlosť plynné fáze.

Grandsden a spol.⁵ pracovali s velmi podobným reakčním

systémem – redukovali hematit vodíkem při teplotách 600–900 °C:



Také tito výzkumníci⁵ se museli vypořádat s defluidací vrstvy, i když k ní docházelo při teplotách poněkud vyšších (nad 710 °C) než v cit.⁴ Zjistili také, že při těchto teplotách dochází k nukleaci a následnému růstu nodusů elementárního železa na vnějším povrchu částic. Při teplotách nižších než 710 °C, kdy k defluidaci nedochází, probíhají tyto morfologické změny ve vnitřku povoritých částic wüstitu. Je tedy zjevné, že přítomnost chemické reakce a fyzikálně-chemické vlastnosti nové fáze, tvořící se na povrchu částice, mají pro aglomeraci a defluidaci primární důležitost.

3. Příčiny a fyzický obraz defluidace

Prvotním jevem každé defluidace je shlukování (aglomerace, sintrování, slinování či spékání) drobných částic do větších agregátů. K tomuto procesu může docházet jak při nižších teplotách (např. při sušení), tak i při teplotách velmi vysokých (např. při spalování nebo zplyňování uhlí). Ke shlukování částic dochází působením adhezivních sil vyvolaných přilnavostí jejich povrchů. Značná hybnost částic rychle se pohybujících ve fluidní vrstvě ($m_p v_p$) však působí proti kohezním silám a má tendenci tvořící se shluky rozvolňovat.

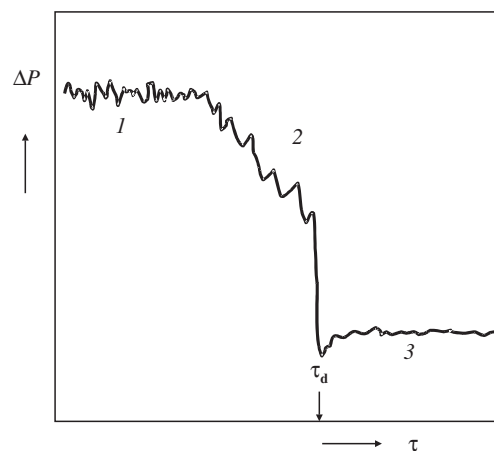
Malé a lehké částice jsou k aglomeraci náchylnější než částice velké a těžké. V tomto ohledu se také uplatňuje velký specifický (vnější) povrch jemných částic. O tom, zda k aglomeraci částic dojde či nikoliv, rozhoduje souběh celé řady faktorů jako jsou povrchové vlastnosti částic (přilnavost), jejich velikost a hustota a i rychlosť proudění a fyzikální vlastnosti plynné fáze. Na aglomeraci je nutno pohlížet jako na velmi složitý jev, jenž dosud nebyl plně objasněn.

Výhodné vlastnosti fluidní vrstvy, zmíněné v úvodu, jsou vázány na vhodný pracovní režim. Vedle charakteru částic, daného hlavně Archimedovým kritériem Ar, hydrodynamický režim fluidní vrstvy silně ovlivňuje tzv. přebytková rychlosť $U - U_{mf}$, představující rozdíl mezi (zvolenou) pracovní rychlosťí plynu U a jeho rychlosťí v prahu fluidace částic U_{mf} ve vrstvě. Tak např. pro režim bublinové fluidní vrstvy se přebytková rychlosť ($U - U_{mf}$) pohybuje v rozsahu cca 0,05–0,30 m.s⁻¹ pro částice typu B a D Geldartovy klasifikace⁶. Je evidentní, že v důsledku aglomerace původních částic se mohou větší či menší rychlosti tvořit částice (shluky, aglomeráty) mnohem větší, jejichž prahová rychlosť fluidace je podstatně vyšší než U_{mf} původních částic. Takto se pracovní režim vrstvy mění: klesá intenzita míchání a může docházet k segregaci, tj. k hromadění větších částic v oblasti distributoru fluidačního plynu.

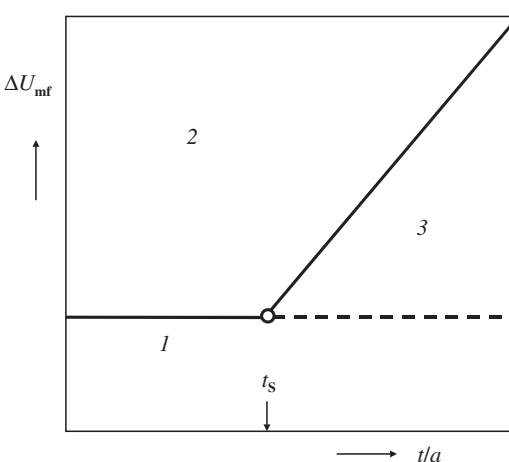
Když jsou vzniklé aglomeráty natolik veliké, že jejich prahová rychlosť fluidace je větší než pracovní rychlosť (tj. $U_{mf,s} > U$), nemohou být udržovány ve vznosu a vytvářejí nehybnou vrstvu se všemi jejími atributy. Tento krajně nezádoucí jev je označován jako defluidace či zalehnutí fluidní

vrstvy. Defluidovaná (zalehlá) vrstva však není rozprostřena po distributoru rovnoramenně a obsahuje kanály různého průřezu, kterými plyn prochází. V tomto stavu je kontakt mezi částicemi a plynem velmi málo efektivní.

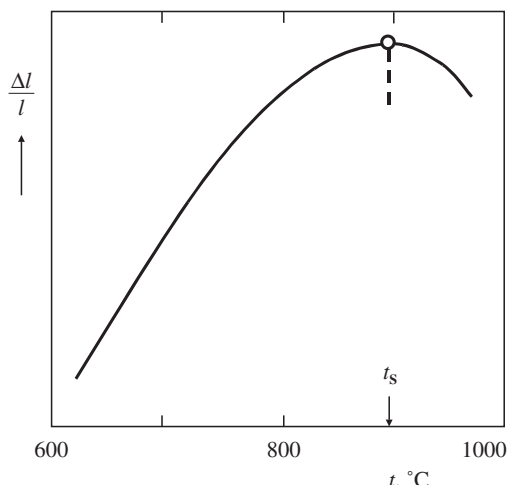
Tlakové změny ve fluidní vrstvě vyvolané postupující aglomerací a následnou defluidací jsou znázorněny na obr. 1. Pro dobrý stav fluidní vrstvy jsou charakteristické rychlé tlakové fluktuace malých amplitud. S nástupem aglomerace (tj. na prahu defluidace) se frekvence fluktuací snižuje a tlakový spád (tlaková ztráta) přes vrstvu klesá. Ve stavu defluidace proudí prakticky veškerý plyn kanály vzniklými v zalehlé vrstvě. V důsledku toho je tlaková ztráta takovéto vrstvy značně nižší než tomu bylo ve fluidním stavu a k fluktuacím tlaku nedochází. Je příznačné, že pokud vrstva nezůstala de-



Obr. 1. Tlaková ztráta fluidní vrstvy ΔP při postupné aglomeraci a následné defluidaci; 1 – normální fluidace, 2 – aglomerace, postupné zhoršování kontaktu, 3 – defluidace (zalehnutí) vrstvy; τ_d – čas defluidace, τ – čas



Obr. 2. Vliv teploty t (přilnavosti a) částic na režimy vrstvy tuhých částic; 1 – statická vrstva, 2 – fluidní vrstva, 3 – defluidovaná (zalehlá) vrstva; t_s – teplota počátku sintrování (aglomerace), ΔU_{mf} – rozdíl prahové rychlosťi fluidace aglomerujících a neaglomerujících částic



Obr. 3. Relativní tepelná roztažnost $\Delta l / l$ nehybné vrstvy měděných kuliček o průměru 0,51–0,58 mm (cit.⁷); t_s – teplota počátku sintrování (899 °C), t – teplota vrstvy

fluidována dlouho, může se přiměřeným zvýšením rychlosti plynu opět uvést do fluidního stavu.

Vliv aglomeračních tendencí na chování fluidní vrstvy je znázorněn na obr. 2. Jak je z obrázku patrné, od jisté hodnoty roste prahová rychlosť fluidace s aglomeračním „potenciálem“ částic. To znamená, že k rozvolnění defluidované vrstvy je zapotřebí tím výšší rychlosť plynu (větší energie), čím jsou aglomerační tendenze částic silnější.

V případě aglomerace vyvolané účinky vysoké teploty je primární veličinou teplota počátečního sintrování (slinování, spékání) či prahová teplota sintrování t_s . Tento materiálový údaj lze stanovit z nezávislých měření tepelné roztažnosti sloupce částic v dilatometru, jak je ilustrováno na obr. 3. První projevy zvýšené přilnavosti částic vedoucí ke zhoršené fluidovatelnosti jsou patrné již při teplotách blížících se prahové teplotě sintrování (viz obr. 2 a 3).

Je příznačné, že teplota počátečního sintrování je výrazně nižší než je teplota bodu tání. Tak např. teplotní práh sintrování měděných kuliček o průměru 0,51–0,58 mm činí 899 °C (cit.⁷), zatímco body tání mědi a oxidu měďnatého jsou 1084, resp. 1446 °C.

4. Faktory ovlivňující defluidaci

O parametrech řídících defluidační jevy mnoho známo není. Dosavadní praktické zkušenosti však potvrzují významné vlivy teploty, rychlosti fluidační tekutiny a velikosti částic. Tendenci částic slepovat se při vzájemných kolizích je možno vyjádřit formálně jednoduchým vztahem⁸

$$S = h (a B / C) \quad (1)$$

kde S je náhylnost (tendence) částic k aglomeraci, a jejich přilnavost (adhesivnost), B plocha kontaktu a C je hybnost částic. Rovnice (1) naznačuje, že náhylnost vrstvy k defluidaci je úměrná přilnavosti částic, ploše jejich kontaktu a ne-přímo úměrná hybnosti částic ve vrstvě.

Přilnavost, povrch a hybnost částic závisí jak na materiuu tvorícím vrstvu, tak i na pracovních podmínkách. Přilnavosti může být přiřazena nulová hodnota při teplotě počátku sintrování t_s , při teplotách vyšších přilnavost s teplotou roste (viz obr. 2). Je tedy zřejmé, že při $t \leq t_s$ není zapotřebí k zabránění aglomerace žádná přebytková hybnost částice ($(U_{mf,s} - U_{mf}) / m_p$). Tato potřebná hybnost však většinou rychle roste s rostoucí teplotou vrstvy nebo přilnavostí částic. Částice jsou většinou isometrické nebo i sférické, jejichž vnější povrch je funkcí jejich velikosti (průměru). Vedle velikosti lze hybnost částic ovlivňovat především rychlosť tekutiny; kontaktní povrch je možno měnit hlavně velikostí částic.

Například zkušenosti s popelem z uhlí indikují, že náhylnost popelových částic k aglomeraci je možno změnit snížením pracovní teploty vrstvy, zvýšením rychlosti plynu a zvětšením velikosti částic. Významně se uplatňuje i výška vrstvy: slabší tendence k defluidaci jsou patrné u mělkých vrstev. Pokud je vrstva provozována při teplotě vyšší než je teplota prahu sintrování, rychlosť plynu musí být podstatně vyšší než je normální prahová rychlosť fluidace.

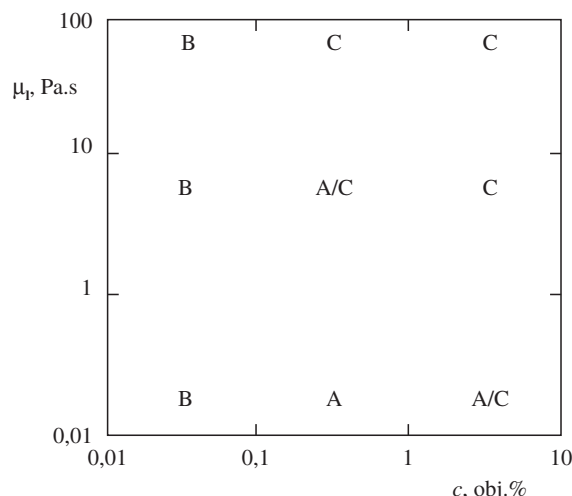
Lepivost vrstvy je faktorem vymezujícím hranice pracovní oblasti, které musí být respektovány. Stupeň lepivosti závisí na množství a charakteru lepivé substance ve vrstvě. Mezi bezpečného trvalého provozu závisí složitým způsobem na řadě proměnných jako jsou chemické složení, střední velikost a distribuce velikosti částic, rychlosť fluidačního plynu, teplota, tlak, geometrie reaktorové nádoby aj. Jakkoliv je struktura pracovních mezi komplikovaná, lze je experimenty jasné a s dobrou reprodukovatelností vymezit.

5. Defluidace při teplotách rovných nebo blízkých teplotě okolí

Do této kategorie patří např. fluidní sušení produktů nebo poloproduktů v potravinářském či chemickém průmyslu, jako jsou drozdí, kasein, cukr, celulosové kaly aj. Všechny tyto materiály jsou v surovém stavu silně lepivé a navíc se velmi lehce deformují. Obsahují obvykle vysoký podíl vlhkosti a samy o sobě nejsou fluidovatelné. Nicméně, když jsou tyto látky vhodným způsobem uváděny do fluidní vrstvy částic více či méně již předsušených, je jejich fluidní sušení nejen technicky schůdné, ale i v mnoha směrech výhodné.

Je evidentní, že takovéto jednotky pracují v blízkosti prahu defluidace neustále. Jejich hladký chod je podmíněn kvalifikovaným řešením celého procesu včetně jeho řízení. V ČR to byl Zdeněk Beran se svými spolupracovníky (VÚCHZ Brno, VUT Brno), kteří na základě svého původního „know-how“ úspěšně realizovali i v zahraničí řadu fluidních sušáren lepivých a pastovitých látek v provozním měřítku (např. cit.^{9–11}). Jak je v takovýchto případech pravidlem, průmyslově využitelné poznatky o chování lepivých systémů nejsou bohužel v běžné literatuře dostupné.

Za účelem studia mechanismů defluidačních jevů je možno snadno vyvolat či ovlivňovat lepivost částic přídavky kapalin různé viskozity a různého povrchového napětí^{12–14} při běžné laboratorní teplotě. Ukazuje se, že přídavek kapaliny k suchým částicím může ovlivnit jejich fluidovatelnost (vlastnosti fluidní vrstvy) v jednom nebo druhém směru, a to v závislosti hlavně na množství a viskozitě kapaliny ve vrstvě. Malé množství nízkoviskózní kapaliny působí jako mazivo,



Obr. 4. Vliv viskozity μ_p a relativního objemu kapaliny c ve fluidní vrstvě tuhých částic na její chování (fluidovatelnost) z pohledu Geldartovy klasifikace^{3,15,16}; velikost částic $\bar{d}_p = 1,09$ mm; hustota částic $\bar{\rho}_p = 2594$ kg.m⁻³ (cit.¹⁴); A, B, C typy částic vykazují zhoršující se fluidovatelnost v tomto pořadí

zvyšuje pohyblivost částic a tím zlepšuje jejich fluidovatelnost. Při vyšších koncentracích kapaliny jsou částice lepivé, obtížně fluidovatelné a snadno vytváří kanály ve vrstvě. Tyto skutečnosti jsou ilustrovány na obr. 4. Obecně platí, že materiály kategorie A fluidují velmi dobře, částice typu B hůře a materiály třídy C jsou kohezivní a vytváří kanály. Pro podrobnější popis tříd tuhých materiálů odkazujeme čtenáře na naši dřívější práci³.

Ukazuje se, že fluidovatelnost souvisí s poměrem kohezních sil kapalných můstků λ mezi částicemi (součet viskozitních sil a sil povrchového napětí) a třecích sil vytváraných vertikálně proudícím plymem. Jestliže $\lambda > 0,4\text{--}0,5$, vrstva se stává náhylnou k defluidaci. S rostoucími hodnotami λ se tendence defluidovat posiluje. Tyto skutečnosti demonstrují důležitost přitažlivých sil mezi částicemi i pro Geldartovu klasifikaci^{3,15,16} vrstev suchých částic, kde dominují třecí síly Coulombovy nebo síly van der Waalsovy.

Fyzikálně zajímavým, a dosud ne zcela vysvětleným jevem, je defluidace vyvolaná náhlou záměnou lehkého fluidačního plynu (např. vodíku) za těžký (např. za dusík nebo argon). Tato defluidace je pouze přechodná: po několika minutách se normální fluidace samovolně obnovuje. Vyskytuje se pouze při fluidaci malých a lehkých částic typu A dle Geldartovy klasifikace (např. částice katalyzátoru). Má se za to, že tento typ aglomerace a defluidace souvisí s rozdíly v rychlosti difuze v emulzní fázi fluidní vrstvy, viskozitě a adsorpce jednotlivých plynů na povrchu částic^{17–19}.

6. Defluidace při zvýšených nebo vysokých teplotách

6.1. Pyrolyza plastů

Jednou z oblastí, ve které jsou velmi důležité aglomerační a defluidační jevy, jsou pyrolyzní technologie k využití plas-

tových odpadů pro energetické účely nebo k recyklaci suroviny. Po uvedení inertních částic do horké fluidní vrstvy inertním plymem se polymerní částice velmi rychle ohřívají, taví se, přerušují se polymerní vazby a dochází k pyrolyze, tzn., že se uvolňují těkavé látky (hořlaviny). Zatímco např. polyethylen (PE) se takto zcela transformuje na plynné složky, poly(ethylen-tereftalát) (PET) zanechává po pyrolyze jisté tuhé reziduum (cca 12 % původní hmotnosti). Lze tedy očekávat, že aglomerační a defluidovační jevy budou při pyrolyze těchto dvou výsudypřítomných plastů odlišné.

Tabulka I
Teploty bodu tání (b.t.) významných látek a eutektických směsí

Materiál	b.t. [°C]	Materiál	b.t. [°C]
Polyethylen	137	Na ₂ O . 2 SiO ₂ ^a	874
Polypropylen	252	Na ₂ SO ₄	884
Poly(ethylen-tereftalát)	265	K ₂ SO ₄	1069
		Na ₂ Fe ₂ O ₄ ^a	1135
KCl	770	K ₂ Fe ₂ O ₄ ^a	1135
K ₂ O . 4 SiO ₂ ^a	770	K ₃ PO ₄	1340
2 CaO . 3 P ₂ O ₅ ^a	774	SiO ₂ (křemen)	1450
NaCl	801	Fe ₂ O ₃ (hematit)	1565
(KPO ₃) ₆	810	Al ₂ O ₃ (korund)	2054

^a Eutektické směsi²¹

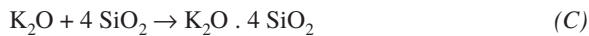
Jsou-li pelety PE nebo PET pyrolyzovány při teplotách 450–650 °C ve vrstvě inertních částic fluidované dusíkem, jsou tendenze k aglomeraci částic a defluidaci vrstvy velmi silné u obou polymerů²⁰. Za stejných podmínek je k témtě jevům poněkud náhylnější systém s PE než s PET. Z tabulky I je patrné, že výše zmíněné pracovní teploty jsou podstatně vyšší, než jsou teploty bodů tání obou polymerů. Rozhodujícím faktorem pro nástup defluidace je množství polymeru přítomného ve vrstvě, ať už ve formě viskózní kapaliny, nebo přilnavých uhlíkových reziduí. Při pyrolyze PE je rozhodující veličinou poměr tloušťky polymerního filmu ulpívajícího na částicích písku k jejich průměru (δ/d_p). Kritická hodnota tohoto poměru pro počátek aglomerace se pohybuje kolem 0,011. Toto zjištění potvrzuje vyšší náhylnost k aglomeraci a defluidaci u malých částic. Rychlosť akumulace roztaveného polymeru ve vrstvě je dán bilanční relací mezi rychlosťí jeho nástríku do reaktoru a rychlosťí jeho pyrolyzy. Protože rychlosť pyrolyzy roste se zvyšující se teplotou, je při vyšších teplotách náhylnost k defluidaci menší. Nelze také pominout skutečnost, že viskozita polymerní tavěnniny s rostoucí teplotou exponenciálně klesá. Se zvyšující se teplotou se tendence k aglomeraci takto postupně oslabuje a za teplot vyšších než 700 °C při pyrolyze PE k defluidaci nedochází vůbec.

6.2. Spalování popelnatého uhlí a biomasy

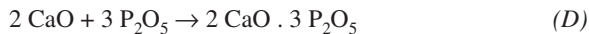
Vzhledem k nízké pracovní teplotě se fluidní spalování zdá být ideální technologií pro struskující (škvárující) uhlí. Po-

dobně jako škvárující uhlí se při spalování chovají některé materiály přírodního původu (např. sláma a dřevěné štěpky), jež mají vysoký obsah alkalických sloučenin (např. KCl). Ukazuje se však, že i při teplotách fluidního spalování jsou s těmito palivy, či spíše s jejich popelem, potíže²².

Při spalování sirknatého uhlí ve fluidní vrstvě křemenného písku (SiO_2) se tyto částice nechovají jako materiál inertní, ale pokrývají se vrstvou tvořenou hlavně thenarditem (Na_2SO_4), síranem sodno-vápenatým a anhydritem (CaSO_4 , cit.²³). Sodné sírany jsou snadno tavitelné látky ochotně vytvářející s popelovými složkami eutektické směsi s nízkým bodem tání (viz tabulka I). Nízkotavná eutektika fungují jako pojivo (tmelidlo) především pro jemné (prachové) podíly popela, obsahujícího široké spektrum chemických složek. Nejpravděpodobnějšími a z hlediska aglomerace nežádoucími reakcemi jsou vysokoteplotní reakce sloučenin alkalických kovů s oxidem křemíčitým

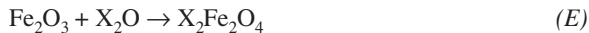


Vznikající směsné oxidy jsou eutektika s body tání 874 a 770 °C (cit.²¹). Podobně reaguje oxid fosforečný přítomný v popelu s oxidem vápenatým



za vzniku eutektické směsi s teplotou bodu tání 774 °C.

Z přechodových kovů v popelu z uhlí dominuje železo ve formě Fe_2O_3 , jenž také reaguje s alkáliimi (X = Na nebo K)



Je známo, že Fe_2O_3 reaguje s alkáliimi ochotněji než SiO_2 (cit.²⁴). Je-li proto molární poměr $\text{Fe}_2\text{O}_3 / (\text{Na}_2\text{O} + \text{K}_2\text{O})$ v popelu větší než jedna, reakce (B) a (C), vedoucí k nízkotavným eutektikům, by se neměly uplatňovat.

Depozici vyvolanou chemickými reakcemi²⁵ a následnými fázovými změnami probíhajícími na povrchu fluidovaných částic však lze potlačit nebo výrazně zpomalit. Často však z technologických důvodů není možno snižovat pracovní teplotu vrstvy. V takových případech se jako depresory aglomerace účinně uplatňují přídavky např. hlinitých nebo železitých sloučenin²⁴.

Z tabulky I je patrné, že nejsnáze se taví eutektika nebo sloučeniny obsahující jako alkalické složky K_2O nebo Na_2O a jako kyselé složky chloridy, SiO_2 nebo P_2O_5 . Není bez zajímavosti, že teplota bodu tání samotného SiO_2 je vysoká (1450 °C).

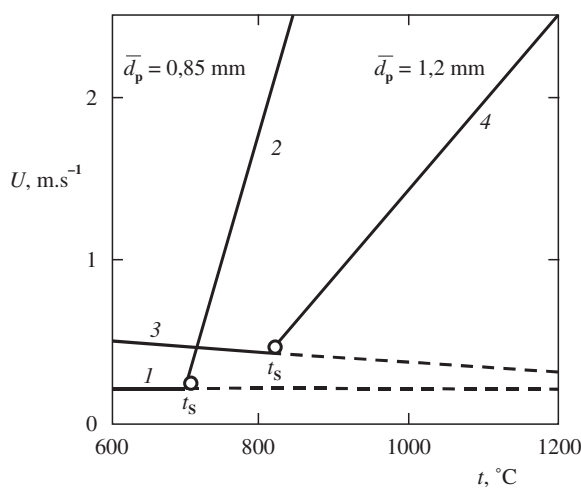
Draslík patří mezi základní živiny prakticky pro všechny rostliny. Udržuje se ve velké míře v rostlinných tkáních a po jejich spálení zůstává v popelu. Tak např. popel z pšeničné slámy nebo z kůry stromů obsahuje více než 20 hm.% K_2O . Je tedy zjevné, že při spalování biomasy ve vrstvě křemenného písku jsou tendenze k aglomeraci velmi silné. Jako schůdné řešení se nabízí např. společné spalování biomasy s uhlím.

Na to, zda v konkrétní vrstvě dojde k aglomeraci či nikoliv, má velmi silný vliv teplota. Pracovní teplota ve fluidní vrstvě se pro účinné spalování pohybuje obvykle kolem 850 °C. Je nutno si však uvědomit, že hořící částice mají většinou teploty

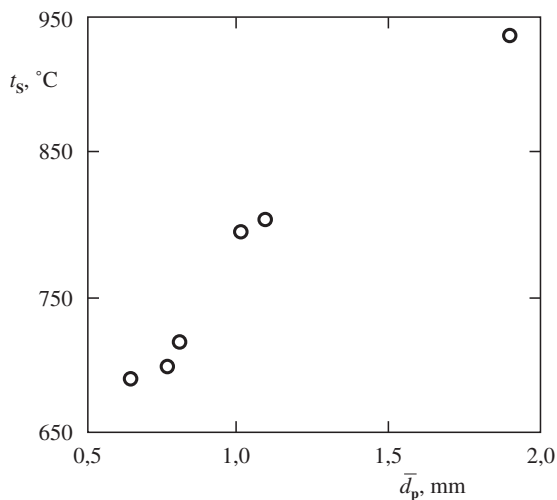
významně vyšší než je teplota vrstvy, a že o nástupu aglomerace rozhodují právě tyto teploty.

Detailní mechanismus aglomerace dosud není jasný, ale nepochybň se při ní uplatňuje řada jevů^{26–28}, jako částečné tavení (přítomnost i malých množství eutektik), plastická deformace, viskozní tok, molekulární difuze aj., které vyvolávají adhezivní síly mezi částicemi.

Existují tři rozdílné způsoby, jak určovat náchylnost vrstvy k aglomeraci: standardní stanovení tavitelnosti popela, sintrační test založený na měření pevnosti v tlaku popelových pelet a testy řízené aglomerace na laboratorním fluidním zařízení. Nejspolehlivější je třetí metoda, i když porovnání s výsledky získanými na zařízeních provozní velikosti chybí.



Obr. 5. Vliv teploty t a velikosti částic \bar{d}_p na defluidační tendence fluidní vrstvy popelu z uhlí²²; 1, 3 – prahová rychlosť fluidace neaglomerujících částic U_{mf} ; 2, 4 – prahová rychlosť fluidace / defluidačce aglomerujících částic $U_{mf,s}$; (O) teplota počátku sintrování (aglomerace) částic t_s



Obr. 6. Dilatometricky změřené teploty počátku sintrování t_s po popelu z uhlí jako funkce velikosti částic d_p (cit.²²)

Rozhodující vliv na teplotu prahu aglomerace mají chemické charakteristiky materiálu vrstvy a konkrétního paliva (popela) a z nich plynoucí fyzikálně-chemické interakce,jenž mohou vést k tvorbě snadno tavitelných eutektických směsí. V takových případech je účinek ostatních faktorů, jako je rychlosť plynů nebo velikost částic, na prahovou teplotu aglomerace relativně slabý.

K nejsnáze tavitelným a tedy nežádoucím látkám, které se při spalování uhlí a biomasy mohou vyskytnout, patří chloridy, příp. sírany alkalických kovů a jejich eutektika a zejména eutektické směsi oxidů alkalických kovů s oxidem křemičitým (viz tabulka I). Náchylnost částic k aglomeraci lze snížit přídavkem vhodných materiálů do fluidní vrstvy. K nejúčinnějším patří látky schopné vázat alkalické kovy jako např. gibbsit ($\text{Al}_2\text{O}_3 \cdot 3\text{H}_2\text{O}$), bauxit (AlO(OH)), sillimanit (Al_2SiO_5), kaolinit ($\text{Al}_2\text{Si}_2\text{O}_7 \cdot 2\text{H}_2\text{O}$) a další hlinitokřemičitanové jílovité minerály. Aglomeraci vrstvy je možno potlačit též přídavkem dolomitu ($\text{CaCO}_3 \cdot \text{MgCO}_3$) nebo vápence (CaCO_3). Jako inertní částice fluidních vrstev jsou vhodné materiály s nízkým obsahem přístupného SiO_2 jako gabro²⁹ (obsahuje minerály jako např. pyroxen, $\text{M}_2^{\text{II}}\text{Si}_2\text{O}_6$; amfibol, $\text{M}_7^{\text{II}}[(\text{Al}_2\text{Si})_4\text{O}_{11}](\text{OH})_2$, živce $\text{NaAlSi}_3\text{O}_8-\text{KAlSi}_3\text{O}_8-\text{CaAl}_2\text{Si}_2\text{O}_8$ aj.), olivínový písek ((Mg,Fe)₂ SiO_4) a živce.

7. Závěr

Aglomerace částic je způsobena lepivostí jejich povrchů. Jestliže aglomerace není řízena tak kvalifikovaně, jako je tomu např. u některých fluidních sušáren, chování fluidní vrstvy se v důsledku aglomerace drasticky mění. Vrstva postupně degraduje a rychlosť cirkulace vrstvy se zpomaluje, až se částice dostanou do klidového stavu, kdy plyn prochází kanály ve znehybnělé vrstvě částic (defluidace).

Lepivost povrchu částic je vyvolána přítomností tekutin (vlhkost, tavenina) nebo sintrací tuhé fáze při zvýšených teplotách. Detailní mechanismus aglomerace není znám, ale v jeho průběhu se uplatňují jevy jako tvorba eutektických směsí, plastická deformace, viskózní tok, molekulární difuze aj. Do jisté míry lze aglomeračním tendencím ve fluidní vrstvě čelit vyšší hybností částic, tj. zvýšením rychlosti fluidačního plynu a volbou hrubších částic.

Aglomerační a defluidační procesy jsou aktuální i při fluidním spalování nebo zplyňování méně hodnotných uhlí či biomasy a jsou velmi citlivé na teplotu. Kritická teplota pro prah (počátek) aglomerace závisí především na chemické charakteristice materiálu vrstvy a paliva (popela). Například interakcemi mezi alkáliemi a některými křemičitými sloučeninami se na povrchu fluidovaných částic tvoří eutektické směsi s teplotou bodu tání nižší než je potřebná pracovní teplota vrstvy. Aglomerační tendenze jsou dále posilovány dalšími faktory, jako je lokální redukční atmosféra či zvýšená teplota na povrchu reagujících (hořících) částic.

Nastupující aglomerace ve vysokoteplotní vrstvě je možno potlačit přídavky vhodných materiálů jako jsou dolomit, vápenec a látky na bázi oxidu hlinitého. Mezi praktické materiály vrstvy odolně vůči aglomeraci patří různé přírodní alumosilikáty s nižším obsahem oxidu křemičitého. Potíží s aglomerací při spalování biomasy se lze vyhnout společným spalováním s (neaglomerujícím) uhlím.

Senzamyslobodu

a	přilnavost (adhesivnost) částic ve vrstvě
B	dotyková plocha částic, $\text{m}^2 \cdot \text{m}^{-3}$
$c = (V/V_s) \cdot 100$	relativní objem kapaliny ve vrstvě, obj. %
$\bar{C} = m_p \cdot v_p$	hybnost částice, $\text{kg} \cdot \text{m} \cdot \text{s}^{-1}$
\bar{d}_p	střední velikost částic, obvykle určená sírováním, m
f	funkce
g	tíhové zrychlení (= 9,807), $\text{m} \cdot \text{s}^{-2}$
h	funkce v rovnici (1)
Δl	diference výšky (délky) nehybné vrstvy způsobená změnou teploty, m
l	výška vrstvy při normální teplotě, m
m_p	hmotnost částice, kg
ΔP	rozdíl tlaku, Pa
S	náchylnost (tendence) částic k aglomeraci
t	teplota, $^{\circ}\text{C}$
t_s	teplota počátku sintrování, $^{\circ}\text{C}$
U	mimovrstvová rychlosť plynů v zařízení, $\text{m} \cdot \text{s}^{-1}$
$U_{mf} = f(\text{Ar})$	prahová rychlosť fluidace neadhezivních částic, $\text{m} \cdot \text{s}^{-1}$
$U_{mf,s}$	prahová rychlosť fluidace za podmínek, kdy se uplatňuje přilnavost částic, $\text{m} \cdot \text{s}^{-1}$
v_p	rychllosť částice ve fluidní vrstvě, $\text{m} \cdot \text{s}^{-1}$
V_l	objem kapaliny přidané do vrstvy, m^3
V_s	objem částic ve vrstvě, m^3

Bezrozměrná kriteria

$$\text{Ar} = \bar{d}_p^3 \cdot g \cdot \rho_f \cdot (\rho_p - \rho_f) / \mu_f^2 \quad \text{Archimedovo kriterium}$$

Řecké symboly

δ	tloušťka adhezního filmu kapaliny (taveniny) na částici, m
λ	poměr kohezních sil mezi částicemi ke třecím silám, vyvolaným vertikálním proudem plynu
μ_f	viskozita fluidační tekutiny (plynu), $\text{Pa} \cdot \text{s}, \text{kg} \cdot \text{m}^{-1} \cdot \text{s}^{-1}$
μ_l	viskozita kapaliny, $\text{Pa} \cdot \text{s}, \text{kg} \cdot \text{m}^{-1} \cdot \text{s}^{-1}$
ρ_f	hustota fluidační tekutiny (plynu), $\text{kg} \cdot \text{m}^{-3}$
ρ_p	hustota částice, $\text{kg} \cdot \text{m}^{-3}$
τ	čas, s
τ_d	čas defluidace, s

Tato práce byla podpořena Grantovou agenturou ČR (grant č. 203/02/0002) a Grantovou agenturou Akademie věd ČR (granty č. 4072201 a 4072001).

LITERATURA

- Hartman M., Yates J. G.: Collect. Czech. Chem. Commun. 58, 961 (1993).
- Hartman M., Coughlin R. W.: Collect. Czech. Chem. Commun. 58, 1213 (1993).
- Hartman M., Beran Z., Svoboda K., Veselý V.: Collect. Czech. Chem. Commun. 60, 1 (1995).
- Agarwal J. C., Davis W. L.: Chem. Eng. Prog. Symp. Ser. 62 (67), 101 (1966).
- Gransden J. F., Sheasby J. S., Bergougnou M. A.: Chem. Eng. Prog. Symp. Ser. 66 (105), 208 (1970).

6. Hartman M., Svoboda K., Veselý V., Ziolkowski D.: Chem. Listy 81, 1233 (1986).
7. Gluckman M. J., Yerushalmi J., Squires A. M., v knize: *Fluidization Technology* (Keairns D. L., ed.), str. 395. McGraw-Hill, New York 1976.
8. Siegel J. H.: Powder Technol. 38, 13 (1984).
9. Beran Z., v knize: *Drying '92, Part B* (Mujumdar A. S., ed.), str. 1303. Elsevier, Amsterdam 1992.
10. Beran Z., Hartman M., Bednářík J., Koza F.: Užitný vzor 3847 (1995).
11. Beran Z., Koza F.: Užitný vzor 6906 (1997).
12. Pata J., Čárský M., Hartman M., Veselý V.: Ind. Eng. Chem. Res. 27, 1413 (1988).
13. Kuwagi K., Takano K., Horio M.: Powder Technol. 113, 287 (2000).
14. McLaughlin L. J., Rhodes M. J.: Powder Technol. 114, 213 (2001).
15. Geldart D.: Powder Technol. 7, 285 (1973).
16. Yates J. G.: *Fundamentals of Fluidized-Bed Chemical Processes*. Butterworths, London 1983.
17. Rietema K., Hoebink J.: Powder Technol. 18, 257 (1977).
18. Kai T., Takahashi T.: AIChE J. 43, 357 (1997).
19. Kai T., Kamei T., Takahashi T.: AIChE J. 44, 491 (1998).
20. Arena U., Mastellone M. L.: Chem. Eng. Sci. 55, 2849 (2000).
21. Levin E. M., McMurdie H. F., Hall F. P.: *Phase Diagrams for Ceramists*. American Ceramic Society, Ohio 1964.
22. Basu P., Sarka A.: Fuel 62, 924 (1983).
23. Vuthaluru H. B., Linjewile T. M., Zhang D., Manzoori A. R.: Fuel 78, 419 (1999).
24. Lee J.-K., Gu J.-H., Kim M.-R., Chun H.-S.: J. Chem. Eng. Jpn. 34, 171 (2001).
25. Tardos G., Pfeffer R.: Powder Technol. 85, 29 (1995).
26. Skrifvars B.-J., Hupa M., Backman R., Hiltunen M.: Fuel 73, 171 (1994).
27. Skrifvars B.-J., Öhman M., Nordin A., Hupa M.: Energy Fuels 13, 359 (1999).
28. Öhman M., Nordin A.: Energy Fuels 12, 90 (1998).
29. Mann M. D., v knize *Circulating Bed Technology VII* (Grace J. R., Zhu J., de Lasas H., ed.), str. 645. Can. Soc. Chem. Eng., Ottawa 2002.

M. Hartman, O. Trnka, K. Svoboda, and V. Veselý
(Institute of Chemical Process Fundamentals, Academy of Sciences of the Czech Republic, Prague): Agglomeration of Particles and Defluidization Phenomena in the Fluid Bed

Fluidized-bed reactors can be employed in various thermal processes like combustion, gasification or pyrolysis aimed at gaining energy or material recovery. Stable long-term operations can be plagued with particle agglomeration which can dramatically degrade the quality of fluidization. The stickiness of particles mainly depends on chemical interactions between the bed material and the fuel. Although the agglomeration and defluidization of beds of sticky particles are well-reproducible phenomena, their mechanisms are not fully understood yet. It appears that processes such as plastic deformation, viscous flow, molecular diffusion, etc., develop adhesive forces between particles bringing about their agglomeration that can eventually lead to defluidization. The agglomeration and defluidization processes are very sensitive to temperature. At usual combustion temperatures, the mineral residue of a fuel (e.g., alkalis-containing ash) reacts with inert bed particles (e.g., silica sand) forming mixed oxides and corresponding low-melting-point eutectics on the surface of particles. The factors that enhance the formation of agglomerates include local reducing conditions and high temperature on the surface of the burning fuel particles. When planning a high-temperature operation with materials prone to agglomeration, the phenomena of cohesion and defluidization should carefully be observed in small-scale tests. The tendency of a bed to agglomerate can be reduced or minimized by additives such as dolomite, limestone, kaolin and other clays or using low-silica bed materials.